

บทที่ 4

ผลการศึกษา

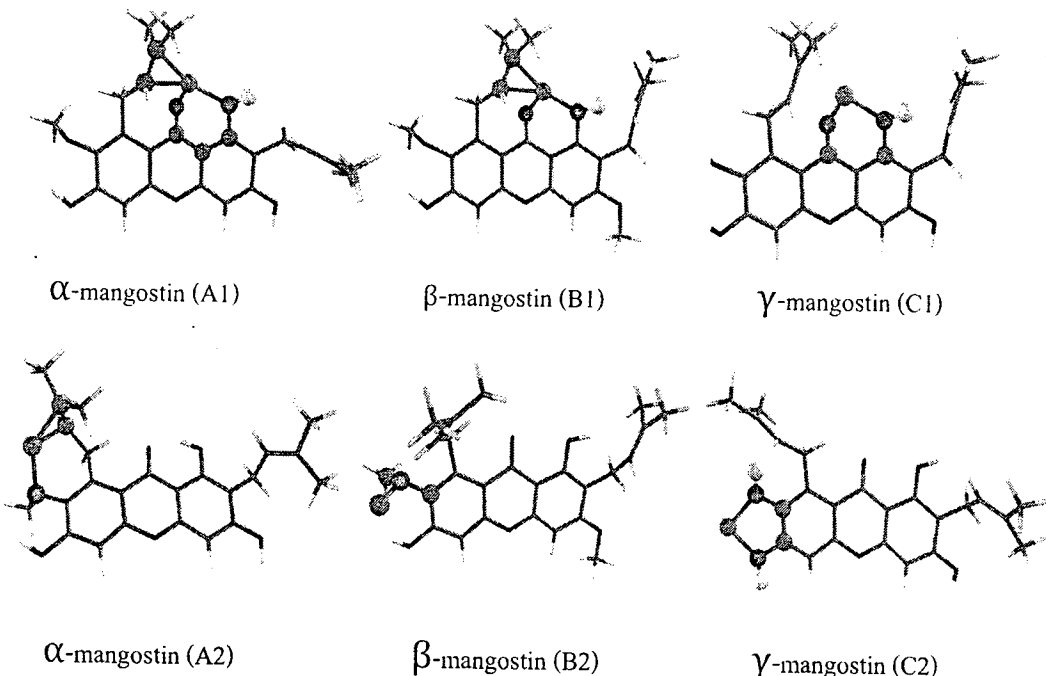
การเกิดอันตรกิริยาจะห่วงไปอ่อนทองแดงในรูปแบบของโลหะที่สามารถละลายน้ำได้บนโครงสร้างของ α -mangostin, β -mangostin และ γ -mangostin ด้วยระเบียบวิธีการคำนวณทางเคมีคอมพิวเตอร์แบบ HF/6-31G(d,p) และ DFT/6-31G(d,p) ในการศึกษาอันตรกิริยาของระบบดังกล่าวซึ่งผลที่ได้จากการคำนวณมีการนำมาเปรียบเทียบกับผลจากการทดลองในระดับห้องปฏิบัติการทางเคมีต่อไป

ตอนที่ 1 การเกิดอันตรกิริยาของไออ่อนทองแดง บนโครงสร้างของสารแมงโภสติน ด้วยระเบียบวิธีการคำนวณทางเคมีคอมพิวเตอร์

เพื่อสร้างความเชื่อมั่นทางทฤษฎี และศึกษาถึงความเป็นไปได้ของความสามารถในการเกิดอันตรกิริยาจะห่วงไปอ่อนทองแดงในรูปแบบของโลหะที่สามารถละลายน้ำได้จำนวน 2 รูปแบบคือ Cu_2^+ และ $CuSO_4$ (ตัวฤกษ์ดูดซับ) บนโครงสร้างของ α -mangostin, β -mangostin และ γ -mangostin (ตัวดูดซับ) ด้วยวิธีการคำนวณทางด้านเคมีคอมพิวเตอร์ ใช้การคำนวณแบบ Hartree-Fock และ Density Functional Theory มี 6-31G(d,p) เป็นเบสิกเซต (Basis Set) ในการศึกษาเปรียบเทียบการเกิดอันตรกิริยาของตัวฤกษ์ดูดซับที่เป็นไออ่อนทองแดงในแต่ละรูปแบบ จำนวน 1 ตัวฤกษ์ดูดซับ บนโครงสร้างแมงโภสติน โดยมีบริเวณการเกิดอันตรกิริยา 2 ตำแหน่ง ทั้ง 3 รูปแบบของโครงสร้าง คือ α -mangostin, β -mangostin และ γ -mangostin

- ผลการเกิดอันตรกิริยาของ Cu_2^+ บนโครงสร้าง α -mangostin, β -mangostin และ γ -mangostin การเกิดอันตรกิริยาจะห่วงตัวฤกษ์ดูดซับที่เป็นไออ่อนทองแดง (Cu_2^+) จำนวน 1 ตัวฤกษ์ดูดซับ บนโครงสร้างของ α -mangostin, β -mangostin และ γ -mangostin (ตัวดูดซับ) ในบริเวณตำแหน่งที่ 1 (โครงสร้างของระบบการเกิดอันตรกิริยา เป็น A1, B1 และ C1 ตามลำดับ) และตำแหน่งที่ 2 (โครงสร้างของระบบการเกิดอันตรกิริยา เป็น A2, B2 และ C2 ตามลำดับ) พนวณเกิดอันตรกิริยาเป็นลักษณะคีเลต (chelating) 2 บริเวณ คือ บริเวณกลุ่มคีโตน (5-hydroxy-7-keto group and 1-hydroxy-6-methoxy group) และบริเวณกลุ่มไฮดรอกซิล (1-hydroxy-6-methoxy group) พลังงานที่ได้จากการคำนวณด้วยระเบียบวิธีการแบบ HF/6-31G(d,p) มีค่าเท่ากับ -260.19(A1), -250.01(A2), -273.80(B1), -504.55(B2), -268.22(C1) และ -224.10(C2)

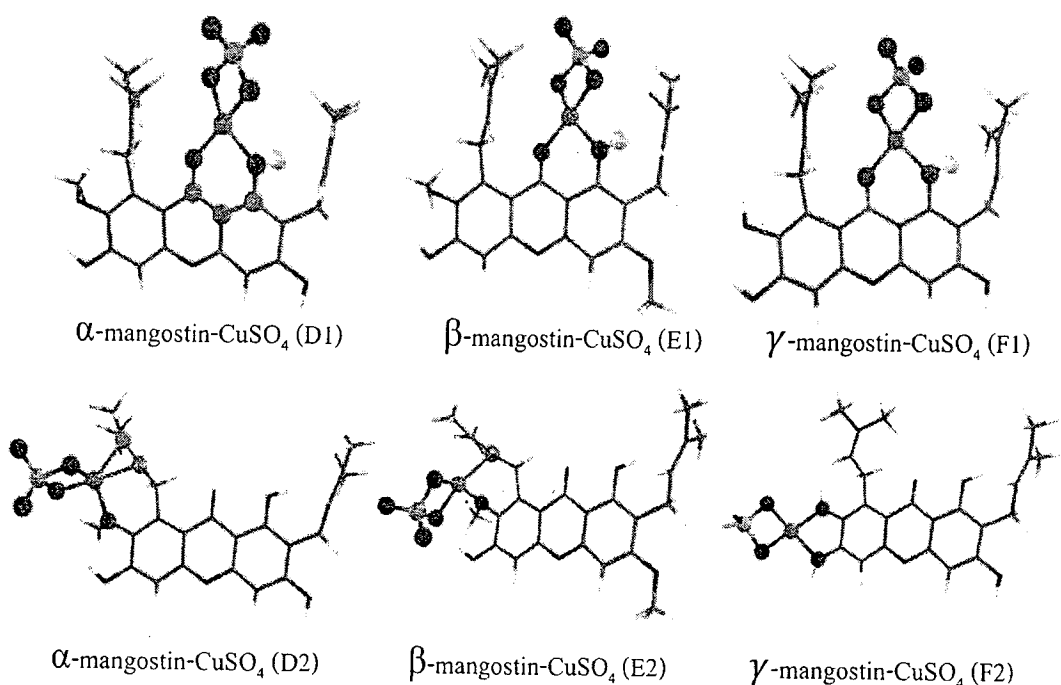
kcal/mol และจากการคำนวณด้วยระเบียบวิธีการแบบ DFT/6-31G(d,p) มีค่าพลังงานเป็น -347.97(A1), -353.44(A2), -358.31(B1), -628.19(B2), -352.27(C1) และ -304.58(C2) kcal/mol และพบว่าระบบการเกิดอันตรักษิราะหว่างไอออนทองแดงในรูปแบบของ Cu^{2+} ที่สามารถละลายน้ำได้บนโครงสร้างแมงโกลสติน มีการเปลี่ยนแปลงโครงสร้างทางเคมีที่มีผลต่อความสามารถในการเปลี่ยนแปลง สามารถแสดงลักษณะโครงสร้างการเกิดอันตรักษิราะหว่างไอ้มังอกซินที่มีพลังงานเสถียรที่สุดได้ดังภาพที่ 8



ภาพที่ 8 แสดงลักษณะโครงสร้างการเกิดอันตรักษิราะหว่างไอ้มังอกซินที่มีพลังงานเสถียรที่สุด ของไอ้อน Cu_2^+

- (a) โครงสร้างที่เสถียรของการเกิดอันตรักษิราะหว่าง Cu_2^+ บนโครงสร้าง α -mangostin (A1), β -mangostin (B1) และ γ -mangostin (C1) บริเวณตำแหน่งที่ 1 (b) โครงสร้างที่เสถียรของการเกิดอันตรักษิราะหว่าง Cu_2^+ บนโครงสร้าง α -mangostin (A2), β -mangostin (B2) และ γ -mangostin บริเวณตำแหน่งที่ 2 (C2)

2. ผลการเกิดอันตรกิริยาของ CuSO_4 บนโครงสร้าง α -mangostin, β -mangostin และ γ -mangostin การเกิดอันตรกิริยาระหว่างตัวฤกษ์ดูดซับที่เป็นไอออนทองแดง (Cu_2SO_4) จำนวน 1 ตัวฤกษ์ดูดซับ บนโครงสร้างของ α -mangostin, β -mangostin และ γ -mangostin (ตัวฤกษ์ดูดซับ) ในบริเวณตำแหน่งที่ 1 (โครงสร้างของระบบการเกิดอันตรกิริยา เป็น D1, E1 และ F1 ตามลำดับ) และตำแหน่งที่ 2 (โครงสร้างของระบบการเกิดอันตรกิริยา เป็น D2, E2 และ F2 ตามลำดับ) พบว่าระบบการเกิดอันตรกิริยาระหว่างไอออนทองแดงในรูปแบบของ CuSO_4 ที่สามารถถลายน้ำได้ บนโครงสร้างเมงโกรสติน มีการเปลี่ยนแปลงโครงสร้างทางเรขาคณิตในบริเวณที่เกิดอันตรกิริยา คือ ความยาวพันธะและมุมพันธะ มีการเปลี่ยนแปลง และพบว่าพลังงานของการเกิดอันตรกิริยา จากการคำนวณด้วยระเบียบวิธีการแบบ HF/6-31G(d,p) เป็น -86.56(D1), -56.97(D2), -87.33(E1), -65.23(E2), -86.12(F1) และ -57.90(F2) kcal/mol และที่ได้จากการคำนวณด้วยระเบียบวิธีการแบบ DFT/6-31G(d,p) มีค่าเท่ากับ -81.79 (D1), -65.29 (D2), -82.41352384 (E1), -69.93(E2), -81.83 (F1) และ -52.98(F2) kcal/mol และสามารถแสดงลักษณะโครงสร้างการเกิดอันตรกิริยาที่มีพลังงานเสถียรที่สุดได้ดังภาพที่ 9



ภาพที่ 9 แสดงลักษณะโครงสร้างการเกิดอันตรกิริยาที่มีผลต่อเสถียรที่สุด ของไอออน Cu_2SO_4

- (a) โครงสร้างที่เสถียรของการเกิดอันตรกิริยาระหว่าง Cu_2SO_4 บนโครงสร้างแมงโกลสตินบริเวณตำแหน่งที่ 1 คือ α -mangostin (D1), β -mangostin (E1) และ γ -mangostin (F1)
- (b) โครงสร้างที่เสถียรของการเกิดอันตรกิริยาระหว่าง Cu_2SO_4 บนโครงสร้างแมงโกลสตินบริเวณตำแหน่งที่ 2 คือ α -mangostin (D2), β -mangostin (E2) และ γ -mangostin (F2)

ตารางที่ 2 แสดงค่าพลังงานที่เสียหายที่สุดของการเกิดอันตรกิริยาระหว่าง ไอออนทองแดง (Cu^{2+} และ $CuSO_4$) บนโครงสร้างสารแมงโกลสตินตำแหน่งที่ 1 และตำแหน่งที่ 2 (α -mangostin, β -mangostin และ γ -mangostin)

method structures	Adsorption energy ; -ΔE (kcal/mol)	
	HF/6-31g(d,p)	DFT6-31g(d,p)
α -mangostin / Cu^{2+} (A1)	-269.1903071	-347.9731203
α -mangostin / Cu^{2+} (A2)	-250.0100869	-353.4437525
β -mangostin / Cu^{2+} (B1)	-273.8006853	-358.3065157
β -mangostin / Cu^{2+} (B2)	-504.54929	-628.1919151
γ -mangostin / Cu^{2+} (C1)	-268.2173523	-352.2691793
γ -mangostin / Cu^{2+} (C2)	-224.0973125	-304.5801763
α -mangostin / $CuSO_4$ (D1)	-86.55603111	-81.78996715
α -mangostin / $CuSO_4$ (D2)	-56.97144465	-65.29480004
β -mangostin / $CuSO_4$ (E1)	-87.32598588	-82.41352384
β -mangostin / $CuSO_4$ (E2)	-65.23393157	-69.92544733
γ -mangostin / $CuSO_4$ (F1)	-86.12336396	-81.82774326
γ -mangostin / $CuSO_4$ (F2)	-57.90128897	-62.98179882

จากการคำนวณทางเคมีคอมพิวเตอร์ของการเกิดอันตรกิริยาระหว่าง ไอออนทองแดงที่สามารถลดลงได้ 2 รูปแบบ คือ Cu^{2+} และ $CuSO_4$ บนโครงสร้างของสารสกัดแมงโกลสตินทั้งสองตำแหน่งที่สามารถเกิดอันตรกิริยาได้ของโครงสร้างทั้ง 3 ชนิดของแมงโกลสติน คือ α -mangostin, β -mangostin และ γ -mangostin พบร่วมกับการเปลี่ยนแปลงรูปร่างทางเรขาคณิตเกิดขึ้นเมื่อเปรียบเทียบก่อนและหลังการเกิดอันตรกิริยา และมีพลังงานการเกิดอันตรกิริยาที่แตกต่างกันในแต่ละระบบการเกิดอันตรกิริยา ซึ่งมีพลังงานการเกิดอันตรกิริยาตั้งแต่ 52.98-628.19 kcal/mol

ตอนที่ 2 ผลการสกัดสาร และการแยกสารสกัด α -mangostin, β -mangostin และ γ -mangostin

การแยกสารเมงโกรสตินจากเปลือกมังคุด โดยการสกัดด้วยตัวทำละลายเมทานอล และแยกต่อด้วยวิธีทาง โครโนมาโทกราฟี และพิสูจน์เอกลักษณ์ของเมงโกรสตินที่แยกได้ ด้วยการเปรียบเทียบ โกรโนมาโทแกรมบนแผ่น TLC เทียบกับเมงโกรสตินสารมาตรฐานได้ผลดังนี้

ผลการเตรียมพืชตัวอย่าง

จากการเตรียมเปลือกมังคุดแห้ง ขนาดชิ้นเล็กๆ ได้น้ำหนัก 1,000 กรัม

ผลการสกัดสารจากเปลือกมังคุด

จากการนำเปลือกมังคุดคากแห้ง 1,000 กรัม แช่ด้วยตัวทำละลายเมทานอลจนท่วม เป็นเวลา 3 วัน และระเหยตัวทำละลายออก จะได้สารสกัดหมายในรูปสารหนึดสีน้ำตาลเข้ม น้ำหนัก 134.56 กรัม

ผลการแยกเมงโกรสตินจากสารสกัดหมายเมทานอล

การแยกสารสกัดเมงโกรสติน ด้วยวิธีการทาง โกรโนมาโทกราฟีแบบรวดเร็ว สามารถรับสารละลายได้ทั้งหมด 57 หลอด แสดงลักษณะภายในภาชนะดังตาราง

ตารางที่ 3 แสดงลักษณะภายในภาชนะที่แยกได้ด้วยวิธี โกรโนมาโทกราฟีแบบรวดเร็ว

หลอดที่รับ	ตัวทำละลายที่ใช้	ลักษณะภายในภาชนะ
1-3	100% CH_2Cl_2	สารละลายสีเหลืองใส
4-6	5%MeOH/ CH_2Cl_2	สารละลายสีเหลืองเข้ม
7-9	10%MeOH/ CH_2Cl_2	สารละลายน้ำตาลเข้ม
10-12	15%MeOH/ CH_2Cl_2	สารละลายน้ำตาลเข้ม
13-15	20%MeOH/ CH_2Cl_2	สารละลายน้ำตาลเข้ม
16-18	25%MeOH/ CH_2Cl_2	สารละลายน้ำตาลเข้ม
19-21	30%MeOH/ CH_2Cl_2	สารละลายน้ำตาลเข้ม
22-24	35%MeOH/ CH_2Cl_2	สารละลายสีเหลืองใส
25-27	40%MeOH/ CH_2Cl_2	สารละลายสีเหลืองใส
28-30	55%MeOH/ CH_2Cl_2	สารละลายสีเหลืองเข้ม
31-33	60%MeOH/ CH_2Cl_2	สารละลายสีเหลืองเข้ม
34-36	65%MeOH/ CH_2Cl_2	สารละลายสีเหลืองเข้ม

หลอดที่รับ	ตัวทำละลายที่ใช้	ลักษณะกายภาพ
37-39	70%MeOH/ CH ₂ Cl ₂	สารละลายสีเหลืองเข้ม
40-42	75%MeOH/ CH ₂ Cl ₂	สารละลายสีเหลืองเข้ม
43-45	80%MeOH/ CH ₂ Cl ₂	สารละลายสีเหลืองเข้ม
46-48	85%MeOH/ CH ₂ Cl ₂	สารละลายสีเหลืองใส
49-51	90%MeOH/ CH ₂ Cl ₂	สารละลายสีเหลืองใส
52-54	95%MeOH/ CH ₂ Cl ₂	สารละลายสีเหลืองใส
55-57	100%MeOH/ CH ₂ Cl ₂	สารละลายสีเหลืองใส

จากตารางแยกสารสกัดแมงโ哥สตินที่ผสมกับผงชิลิกาเจล ปริมาณ 20 g โดยใช้เฟสเคลื่อนที่เป็น 100% ไดคลอโรเมเทน ทำการเพิ่มขั้วครั้งละ 5% เมทานอล เพิ่มข้าไปเรื่อยจนถึง 100% เมทานอล แยกด้วยวิธีการทางโคมากาฟแบบบรรเทว พบว่า หลังจากสารสกัดผ่านลงคงอัมน์จะมีลักษณะเป็นสารละลายสีน้ำตาลเข้ม สีเหลืองเข้ม และสีเหลืองใส

เมื่อนำสารละลายที่ได้จากการแยกคงอัมน์โคมากาฟแบบบรรเทว มาตรวจสอบด้วยแผ่น TLC และรวมส่วนที่มีลักษณะโคมากาฟแกรนเหมือนกันเข้าด้วยกัน ได้ทั้งหมด 3 ส่วนมีลักษณะและปริมาณแตกต่างกันดังนี้

ตารางที่ 4 แสดงลักษณะกายภาพของสารสกัดส่วนย่อยที่ได้จากการแยกด้วยโคมากาฟแบบบรรเทว

ส่วนย่อยที่	ลักษณะกายภาพ	น้ำหนัก (g)
1	สารสกัดสีน้ำตาลเข้มหนืด	-
2	สารสกัดสีเหลืองเข้มหนืด	10.34
3	สารสกัดสีเหลืองใสหนืด	-

เมื่อนำสารแต่ละส่วนตรวจเช็คการเคลื่อนที่บนแผ่น TLC โดยเปรียบเทียบกับสารมาตรฐานแมงโ哥สติน พบว่า สารสกัดในส่วนย่อยที่ 2 ลักษณะสารสีเหลืองเข้มหนืด จะมีการเคลื่อนที่คล้ายกับสารมาตรฐานแมงโ哥สติน แต่ยังมีสารอื่นปนอยู่ด้วย จึงนำสารสกัดในส่วนย่อยที่ 2 น้ำหนัก 10.34 g ไปแยกให้สารบริสุทธิ์ขึ้น ด้วยวิธีคงอัมน์โคมากาฟแบบบรรเทว สามารถรับสารละลายได้ทั้งหมด 147 หลอด แสดงลักษณะกายภาพได้ผลดังตารางที่ 5

ตารางที่ 5 แสดงลักษณะกายภาพของสารสกัดที่แยกได้ ด้วยวิธีคอกลัมน์ โครม่าโทกราฟีแบบธรรมชาติ

หลอดที่รับ	ตัวทำละลายที่ใช้	ลักษณะกายภาพ
1-7	100% CH_2Cl_2	สารละลายน้ำตาลเข้ม
8-14	5%MeOH/ CH_2Cl_2	สารละลายน้ำตาลเข้ม
15-21	10%MeOH/ CH_2Cl_2	สารละลายน้ำตาลเข้ม
22-28	15%MeOH/ CH_2Cl_2	สารละลายน้ำตาลเข้ม
29-35	20%MeOH/ CH_2Cl_2	สารละลายน้ำตาลเข้ม
36-42	25%MeOH/ CH_2Cl_2	สารละลายน้ำตาลเข้ม
43-49	30%MeOH/ CH_2Cl_2	สารละลายน้ำตาลเข้ม
50-56	35%MeOH/ CH_2Cl_2	สารละลายสีน้ำตาลเข้ม
57-63	40%MeOH/ CH_2Cl_2	สารละลายสีน้ำตาลเข้ม
64-70	45%MeOH/ CH_2Cl_2	สารละลายน้ำตาลเข้ม
71-77	50%MeOH/ CH_2Cl_2	สารละลายน้ำตาลเข้ม
78-84	55%MeOH/ CH_2Cl_2	สารละลายน้ำตาลเข้ม
85-91	60%MeOH/ CH_2Cl_2	สารละลายสีเหลืองเข้ม
92-98	65%MeOH/ CH_2Cl_2	สารละลายสีเหลืองใส
99-105	70%MeOH/ CH_2Cl_2	สารละลายสีเหลืองใส
106-112	75%MeOH/ CH_2Cl_2	สารละลายสีเหลืองใส
113-119	80%MeOH/ CH_2Cl_2	สารละลายสีเหลืองใส
120-126	85%MeOH/ CH_2Cl_2	สารละลายสีเหลืองใส
127-133	90%MeOH/ CH_2Cl_2	สารละลายสีเหลืองใส
134-140	95%MeOH/ CH_2Cl_2	สารละลายสีเหลืองใส
141-147	100%MeOH/ CH_2Cl_2	สารละลายสีเหลืองใส

สารละลายที่ได้จากการแยกด้วยวิธีการทางโครม่าโทกราฟีแบบธรรมชาติพบว่า เมื่อนำมาแยกสารสกัดเพื่อให้สารสกัดมีความบริสุทธิ์มากขึ้น สารสกัดจะมีลักษณะเป็นสารสีน้ำตาลเข้ม และสารสีเหลืองใส เมื่อนำสารแต่ละส่วนมาตรวจสอบด้วย TLC สามารถรวมส่วนที่มีลักษณะโครม่าโทแกรมเหมือนกันได้ ทั้งหมด 5 ส่วน ดังตารางที่ 6

ตารางที่ 6 แสดงลักษณะกายภาพของสารสกัดที่ได้จากการแยกด้วยโคมาราฟิแบบธรรมชาติ

ส่วนย่อยที่	ลักษณะทางกายภาพ	น้ำหนัก (g)
1	สารสกัดสีน้ำตาลเข้มน้ำดี	1.89
2	สารสกัดสีเหลืองเข้มน้ำดี	1.33
3	สารสกัดสีเหลืองใส่น้ำดี	1.28
4	สารสกัดสีเหลืองเข้มน้ำดี	1.10
5	สารสกัดสีเหลืองเข้มน้ำดี	0.66

เมื่อนำสารสกัดที่รองรับได้แต่ละทดสอบ ไประ夷ด้วยเครื่องระ夷แบบสุญญากาศ พบร้า สารสกัดจะมีลักษณะเป็นสารหนึด แล้วทำการตรวจเช็คการเคลื่อนที่บนแผ่น TLC โดยเปรียบเทียบกับสารมาตรฐานแมงโภสติน พบร้า มีสารสกัดในส่วนย่อยที่ 5 ลักษณะสารสีเหลืองเข้ม น้ำหนัก 0.66 g เมื่อมีการเปรียบเทียบการเคลื่อนที่ พบร้า มีการเคลื่อนที่เหมือนกับสารมาตรฐานแมงโภสติน แสดงว่าสารในส่วนย่อย 5 ส่วน คือ แมงโภสตินหลังจากนั้นทำการระ夷ด้วยทำละลายออกด้วยเครื่องระ夷แบบสุญญากาศ จะได้สารสกัดลักษณะของเข็งสีเหลือง ปริมาณ 0.36 g จะเห็นได้ว่าการสกัดสารสกัดแมงโภสติน จากเปลือกมังคุด สามารถได้รับปริมาณน้อยมาก ไม่เหมาะสมในการนำไปศึกษาความสามารถในการดูดซับ ไอออนทองแดง จึงมีการใช้เปลือกมังคุดเป็นวัสดุดูดซับแทน เนื่องจากคุณสมบัติของเปลือกมังคุดมีสารแมงโภสตินเป็นส่วนประกอบ และเป็นวัสดุที่มีรูพรุนซึ่งหากสามารถดูดซับ ไอออนทองแดง ได้ ก็สามารถนำไปประยุกต์ใช้เป็นวัสดุดูดซับที่เหมาะสมได้ เนื่องจากเป็นวัสดุเหลือทั้งทางการเกษตร

ตอนที่ 3 ประสิทธิภาพการดูดซับ ไอออนทองแดง ในน้ำเสียสังเคราะห์ ด้วยเปลือกมังคุด

จากผลการคำนวณทางเคมีคอมพิวเตอร์ ที่มีอันตรกิริยาเกิดขึ้นระหว่าง ไอออนทองแดงบนโครงสร้างของสารแมงโภสติน ซึ่งเป็นสารที่เป็นองค์ประกอบของเปลือกมังคุด จึงดำเนินการศึกษาความสามารถในการดูดซับ ไอออนทองแดง ในน้ำเสียสังเคราะห์ ด้วยเปลือกมังคุด มีลำดับการศึกษาดังนี้

1. การวิเคราะห์หาค่าไอโอดีนนัมเบอร์ของของเปลือกมังคุด
2. ศึกษาปัจจัยที่มีผลต่อการดูดซับ ไอออนทองแดง ในน้ำเสียสังเคราะห์ ด้วยเปลือกมังคุด

● ปริมาณของเปลือกมังคุด

● เวลาในการดูดซับ

3. ศึกษา ไอโซเทอร์มของการดูดซับแบบแบนແลงເມີຣ໌ ແລະ ໄອໂໂທ່ອຮ່ມของการดูดซับแบบ
ຝຽນຄວາມ

การวิเคราะห์หาค่า ไอโอดีนນัมเบอร์ของเปลือกมังคุด (Iodine Number)

การหาค่าการดูดซับ ไอโอดีน (Iodine Number) จะเป็นค่านี้ชี้วัดอย่างหนึ่งที่บ่งบอกถึงค่า
ความสามารถในการดูดซับของวัสดุดูดซับ ซึ่งจะมีค่าความสัมพันธ์โดยตรงค่าพื้นที่ผิวของ
วัสดุดูดซับ

ตารางที่ 7 แสดงค่าการดูดซับ ไอโอดีน (Iodine Number) ของเปลือกมังคุด

ตัวดูดซับ	เปลือกมังคุด	ถ่านจากเปลือกมังคุด*	ถ่านกัมมันต์ จากเปลือกมังคุด*
ค่าการดูดซับ ไอโอดีน (mg/g)	95.22 ± 0.01	125.22 ± 0.01	955.19 ± 0.02

หมายเหตุ : ค่าการดูดซับ ไอโอดีน เท่ากับ $\bar{X} \pm SD$, n = 3

* เป็นการศึกษาเบรเยนเทียบพื้นที่ผิว

การวิเคราะห์นี้เป็นวิธีการหลักในการทดสอบการบอน โดยใช้วิธีมาตรฐาน(ASTM-4607 – 94) ผลการวิเคราะห์การดูดซับ ไอโอดีนนัมเบอร์ของวัสดุดูดซับทั้งสามชนิด พบว่าถ่าน
กัมมันต์จากเปลือกมังคุดมีค่า ไอโอดีนนัมเบอร์สูงสุด รองลงมาเป็นถ่านจากเปลือกมังคุด
และเปลือกมังคุด คือ เท่ากับ 955.19, 658.83 และ 125.22 (mg/g) ตามลำดับ จากผลการวิเคราะห์ค่า
การดูดซับ ไอโอดีนนี้มีสอดคล้องกับภาพถ่าย SEM โดยกัมมันต์จากเปลือกมังคุด มีพื้นที่ผิวและ
จำนวนรูพรุนจำนวนมากกว่าถ่านเปลือกมังคุด และเปลือกมังคุด แต่การเตรียมถ่านและถ่านกัมมันต์
ต้องใช้ความร้อนสูงมากในการจัดเตรียม ซึ่งเป็นการทำลายสารแมงโภสตินที่มีอยู่ในเปลือกมังคุด
ให้ลายตัวไปทั้งหมด ใน การศึกษาครั้งนี้จึงได้นำเฉพาะเปลือกมังคุดมาศึกษาเพื่อเป็นตัวแทนของ
สารแมงโภสติน

จะเห็นได้ว่าวัสดุดูดซับที่เตรียมขึ้นจากการเผาเปลือกมังคุด มีค่าการดูดซับ ไอโอดีน
ใกล้เคียงกับงานวิจัยของนิตยา ชาอุ่น (2550 : 59) แต่ถ่านกัมมันต์จากเปลือกมังคุดที่เตรียมขึ้น ทำ
การกระตุ้นทางเคมีโดยใช้โพแทสเซียมไอกրอกไซด์ นำไปเผาที่อุณหภูมิ 800 องศาเซลเซียส
มีค่าการดูดซับ ไอโอดีนที่ดีที่สุด เนื่องจากการเผาที่อุณหภูมิคงกล่าว ดีกว่าการเผาที่
อุณหภูมิ 600 และ 700 องศาเซลเซียส (รุ่งนภา สุขสว่าง. 2550 : 51) และถ้านำไปเผาที่อุณหภูมิ

900 องศาเซลเซียส โครงสร้างรูพื้นไได้รับความร้อนสูงเกินไป จนเกิดการแตกสลายของผนัง โครงสร้างรูพื้นขนาดเล็กกล้ายเป็นรูพื้นขนาดกลางและขนาดใหญ่ ทำให้ความสามารถในการดูดซับไออกดีนลดลง (Yang and Lua. 2003 : 113)

ปัจจัยที่มีผลต่อการดูดซับ ไออกอนทองแดง ในน้ำเสียสังเคราะห์ ด้วยเปลือกมังคุด

1. ศึกษาปริมาณเปลือกมังคุดที่เหมาะสมในการดูดซับ

จากการศึกษาอิทธิพลของปริมาณของวัสดุดูดซับ 0.50, 1.00, 1.50, 2.00, 2.50 และ 3.00 กรัม ในน้ำเสียสังเคราะห์ที่มีไออกอนทองแดง ที่ความเข้มข้น 5 มิลลิกรัมต่อลิตร ตั้งทิ้งไว้เป็นเวลา 120 นาที ดังตารางต่อไปนี้

ตารางที่ 8 แสดงประสิทธิภาพในการดูดซับ ไออกอนทองแดง ในน้ำเสียสังเคราะห์ โดยใช้เปลือกมังคุดปริมาณต่างๆ ที่ความเข้มข้น 5 มิลลิกรัมต่อลิตร เวลา 120 นาที ณ อุณหภูมิห้อง

ปริมาณเปลือกมังคุด (กรัม)	0.50	1.00	1.50	2.00	2.50	3.00	3.50	4.00
ประสิทธิภาพการดูดซับ ไออกอนทองแดง (%)	19.10	33.70	43.33	68.12	72.50	72.09	71.50	71.00

จากการ พบว่าประสิทธิภาพในการดูดซับ ไออกอนทองแดง ในน้ำเสียสังเคราะห์ ที่ความเข้มข้น 5 มิลลิกรัมต่อลิตร เวลาการดูดซับเป็น 120 นาที ด้วยเปลือกมังคุด ปริมาณที่เหมาะสมในการใช้ เป็นวัสดุดูดซับ ได้อ่ายาหาระสม คือ ใช้เปลือกมังคุดปริมาณ 2.50 กรัม มีประสิทธิภาพในการดูดซับได้ 72.50% และเมื่อใช้ปริมาณที่มากขึ้น พบว่าประสิทธิภาพเพิ่มสูงมากที่ แต่ลดลงเล็กน้อย

2. ศึกษาเวลาที่เหมาะสมในการดูดซับ

จากการศึกษาเวลาที่เหมาะสมในการดูดซับ ไออกอนทองแดง ในน้ำเสียสังเคราะห์ ที่มี ความเข้มข้น 5 มิลลิกรัมต่อลิตร ปริมาตร 100 มิลลิลิตร ปรับค่าพีเอชให้เหมาะสม สำหรับเปลือกมังคุด โดยการเติมเปลือกมังคุด จำนวน 2.50 กรัม ตั้งทิ้งไว้ที่เวลา 10, 20, 30, 40, 50, 60, 70, 80, 90, 100, 110 และ 120 นาที ทำการกรองสารละลายน้ำจากการดูดซับ แล้วนำไปวิเคราะห์หาปริมาณทองแดง เพื่อหาเวลาในการดูดซับที่ชุดสมดุลในการดูดซับ ไออกอนทองแดง ด้วยเปลือกมังคุด และหาประสิทธิภาพการดูดซับ ดังตารางต่อไป

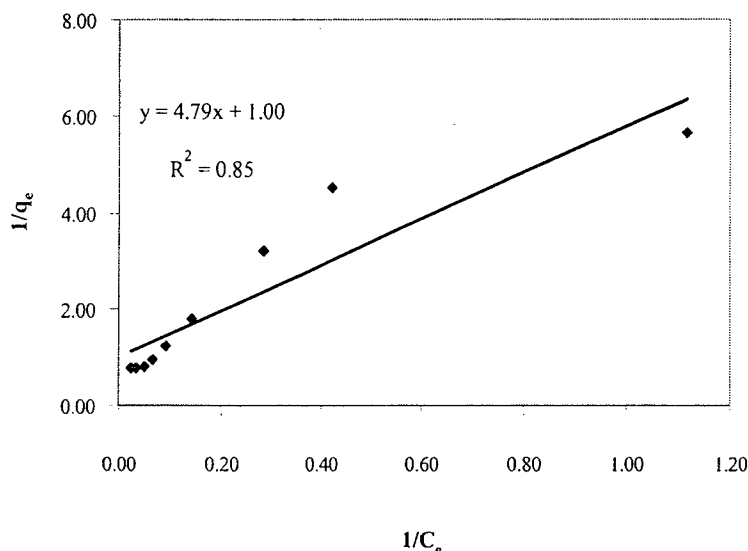
ตารางที่ 9 แสดงประสิทธิภาพการคุณชั้บ ไออ่อนทองแดง โดยใช้เปลือกมังคุดปริมาณ 2.5 กรัม เป็นวัสดุคุณชั้บ โดยน้ำเสียสังเคราะห์มีความเข้มข้น 5 มิลลิกรัมต่อลิตร ที่เวลาในการคุณชั้บต่างๆ กัน ณ อุณหภูมิห้อง

ประสิทธิภาพการคุณชั้บ ไออ่อนทองแดง ของเปลือกมังคุด ที่เวลาสัมผัสต่างๆ ณ อุณหภูมิห้อง												
เวลาในการคุณชั้บ (นาที)	10	20	30	40	50	60	70	80	90	100	110	120
ประสิทธิภาพในการคุณชั้บ (%)	60.0	61.0	62.0	63.0	63.5	64.0	64.5	65.0	65.5	65.0	64.5	64.0

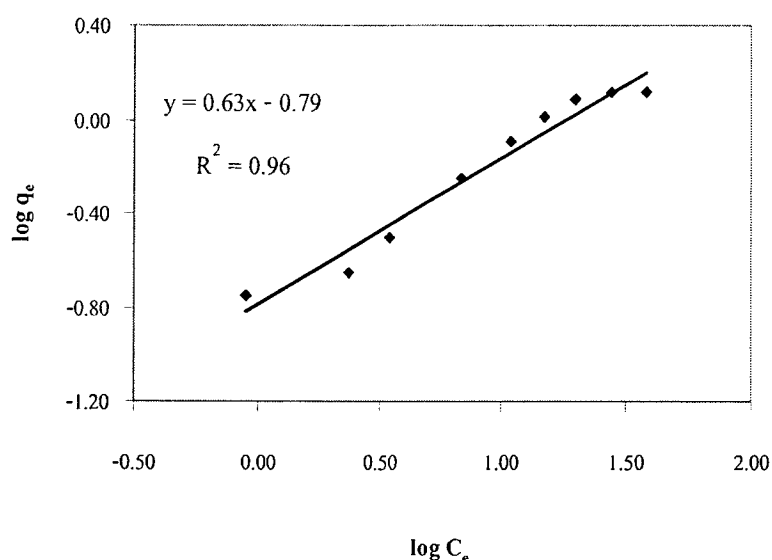
จากการทดลองตามตารางที่ 9 แสดงว่าที่ความเข้มข้นของสารละลาย ไออ่อนทองแดง 5 มิลลิกรัมต่อลิตร พบร่วมกับเปลือกมังคุด เข้าสู่สมดุลในการคุณชั้บ ไออ่อนทองแดง ที่เวลา 90 นาที ใน การคุณชั้บ ไออ่อนทองแดง สังเกตได้ว่าที่เวลาสัมผัสตั้งแต่ 10 นาทีแรก ค่าความเข้มข้นของ ไออ่อน ทองแดง จะลดลงอย่างรวดเร็ว หรืออัตราการคุณชั้บเพิ่มขึ้น เพราะช่วงแรกพื้นที่ผิวนิริเวณ Active Site ของวัสดุคุณชั้บ ยังมีพื้นที่อยู่มาก จึงสามารถคุณชั้บได้เร็ว อัตราการคุณชั้บในช่วงนี้จึง มากกว่าอัตราการหาย แต่เมื่อเวลาผ่านไปพื้นที่ผิวนิริเวณ Active Site จะลดลง จึงทำให้ ไออ่อน ทองแดงเข้าไปเกาะได้ลดลง อัตราการคุณชั้บจึงลดลง กล่าวได้ว่า ความเข้มข้นเริ่มต้นของ ไออ่อน ทองแดงมีผลต่อเวลาในการคุณชั้บ ที่มีผลต่อความสามารถในการดูดซับของวัสดุคุณชั้บ

ไอโซเทอร์มของการคุณชั้บแบบแลงเมียร์ และแบบฟรุนเดลิช

จากการศึกษาปริมาณของเปลือกมังคุด และเวลาที่เหมาะสมในการคุณชั้บ ไออ่อนทองแดง นำมาเขียนกราฟ ไอโซเทอร์มของการคุณชั้บแบบแลงเมียร์ และ ไอโซเทอร์มของการคุณชั้บ แบบฟรุนเดลิช ได้ดังนี้



ภาพที่ 10 แสดงผลการดูดซับของสารต้อง汎ด้วยใช้เปลือกมังคุด
ปริมาณ 2.50 กรัม เวลา 90 นาที ที่ความเข้มข้น 5, 7, 10, 20, 30, 40, 50, 60 และ 70
มิลลิกรัมต่อลิตร ณ อุณหภูมิห้อง



ภาพที่ 11 แสดงผลการดูดซับของสารต้อง汎ด้วยใช้เปลือกมังคุด
ปริมาณ 2.50 กรัม เวลา 90 นาที ที่ความเข้มข้น 5, 7, 10, 20, 30, 40, 50, 60 และ 70
มิลลิกรัมต่อลิตร ณ อุณหภูมิห้อง

จากการศึกษาสมการ Langmuir และ Freundlich ด้วยการพล็อตกราฟเป็นสมการเส้นตรง จะได้ค่า R^2 ของไอโซเทอร์มการดูดซับไออกอนทองแดงแบบแลงเมียร์ เท่ากับ 0.85 และ R^2 ของไอโซเทอร์มการดูดซับไออกอนทองแดงแบบฟรุนดลิช เท่ากับ 0.96 พบว่าการดูดซับไออกอนทองแดงด้วยเปลือกมังคุด มีความสอดคล้องกับ Freundlich Model มากกว่า แสดงว่า การดูดซับดังกล่าวมีการดูดซับเป็นแบบต่อเนื่อง สารไออกอนทองแดงสามารถเกิดการดูดซับได้หลายชั้น (Multilayer) เกิดการซ้อนทับของไออกอนบนพื้นผิวของเปลือกมังคุด